

# بهینه‌سازی چندمعیاره بهره‌برداری تولید همزمان برق، گرما و برودت در یک ریز شبکه توزیع

فرشاد امیری و مهرداد ستایش نظر

مختلف و با حفظ قیود تعیین شوند. برای بهینه‌سازی مسئله بهره‌برداری بهینه سیستم تولید همزمان، معیارهای عملکرد به عنوان توابع هدف در نظر گرفته می‌شوند. مطابق مقالات ارائه شده در این زمینه، معیارهایی مانند بازدهی تبدیل انرژی و اثرات زیست محیطی به طور همزمان در نظر گرفته شده‌اند و معیارهای صرفه‌جویی در مصرف انرژی اولیه یا مصرف سوخت و کاهش انتشار آلایندگی به معیار اصلی که صرفه‌جویی در هزینه است اضافه می‌شوند [۳] و [۴]. در [۵] معیار عملکرد مطمئن، اساس تحلیل بهره‌برداری بهینه سیستم تولید همزمان انتخاب شده است و روش ارزیابی اقتصادی و فنی آن، مبتنی بر مدیریت تقاضای حرارتی و تقاضای الکتریکی است. در [۶] یک راهبرد مدیریت ریسک برای برنامه‌ریزی تأمین بار الکتریکی و حرارتی در شرایط عدم اطمینان متغیرهای تصمیم‌گیری ارائه گردیده که مدل کنترل پیش‌بینی برای کاهش ریسک ارائه شده است. در [۷] راهبرد بهره‌برداری ترکیبی بار حرارت- برق (HETS)<sup>۵</sup> به عنوان یک راهکار مناسب کاهش مصرف انرژی اولیه (PEC)<sup>۶</sup>، هزینه بهره‌برداری<sup>۷</sup> (COST) و انتشار کربن دی‌اکسید<sup>۸</sup> (CDE) معرفی شده است. در [۸] مسئله بهره‌برداری بهینه سیستم تولید همزمان برق، گرما و برودت به صورت یک برنامه خطی برای حداقل سازی هزینه‌های تولید انرژی و هزینه‌های تولید گازهای گلخانه‌ای مدل سازی شده است. مرجع [۹] از الگوریتم بهینه‌سازی ازدحام ذرات برای طراحی و بهینه‌سازی سیستم‌های تولید همزمان استفاده کرده که مسئله را با روش بهینه‌سازی و مبتنی بر ویژگی‌های عملکرد تجهیزات تحلیل کرده است. در [۱۰] یک مدل برنامه غیر خطی عدد مختلط، جهت بهینه‌سازی عملکرد سیستم‌های تولید همزمان و با توجه به معیارهای صرفه‌جویی در انرژی و کاهش هزینه بهره‌برداری، ارائه شده است که ابتدا عملکرد سیستم را مطابق معیار صرفه‌جویی انرژی، بهینه‌سازی می‌کند و سپس نتایج را برای بهینه‌کردن معیار دوم و کاهش هزینه به کار می‌برد. در مراجع فوق، بهینه‌سازی‌ها برای سیستم تولید همزمان و بدون لحاظنمودن ساختار ریزشکه است و تفاوت اصلی این تحقیق با مراجع فوق، ارائه یک چارچوب برای تعیین مقدار تولید بهینه و نیز تعیین راهبرد بهینه بهره‌برداری از سیستم‌های تولید همزمان برق، گرما و برودت در یک ریزشکه توزیع است.

در این مقاله، مطالعات بهینه‌سازی برای یک ریزشکه توزیع با مشخصات ارائه شده در [۱۱] انجام شده است. بهینه‌سازی با استفاده از تابع هزینه هر کدام از سیستم‌ها انجام شده و برنامه‌ریزی بهینه تولید این ریزشکه، تعیین شده است. این برنامه‌ریزی بهینه تولید برای تبادل برق بین شین‌های ریزشکه انجام می‌شود و ارتباط حرارتی بین شین‌ها وجود

چکیده: استفاده بهینه از انرژی و ممانعت از هدر رفت آن، یکی از اهداف مهم در رسیدن به توسعه پایدار هر کشور است. در این راستا از فناوری‌های تولید همزمان برق و حرارت که برق و یا توان مکانیکی را تولید نموده و حرارت اضافی را برای مصارف مختلف از جمله گرمایش و سرمایش بازیافت می‌کنند، استفاده می‌شود. این مقاله چارچوبی برای بهره‌برداری از سیستم‌های تولید همزمان برق، گرما و برودت در یک ریزشکه توزیع، ارائه می‌دهد و مقدار تولید بهینه هر سیستم را تعیین می‌نماید. ابتدا با استفاده از توابع هزینه سیستم تولید همزمان، برنامه‌ریزی تولید بهینه برای سیستم‌ها صورت می‌گیرد و در این برنامه‌ریزی تولید، تلفات ریزشکه هم تعیین می‌گردد. سپس با مشخص شدن مشارکت هر کدام از سیستم‌ها در تولید برق ریزشکه، راهبرد بهره‌برداری بهینه سیستم‌ها تعیین می‌شود. هدف اصلی ارائه این روش، بهینه‌سازی عملکرد جامع سیستم‌های تولید همزمان است. معیارهای مورد بررسی در این مقاله شامل مصرف انرژی اولیه، انتشار آلایندگی و هزینه بهره‌برداری است. مطالعات عددی برای یک ریزشکه<sup>۹</sup> شینه ارائه شده و نتایج آن با مطالعات مرجع مقایسه گردیده و مزیت روش پیشنهادی بررسی شده است.

**کلیدوازه:** برنامه‌ریزی بهینه تولید، تعیین راهبرد بهینه، ریزشکه توزیع، سیستم‌های تولید همزمان، هزینه بهره‌برداری.

## ۱- مقدمه

در سال‌های اخیر سیستم‌های تولید همزمان برق، گرما و برودت (CCHP)<sup>۱</sup> در سراسر دنیا مورد توجه زیادی واقع شده است. سیستم تولید همزمان با استفاده مفید از حرارت هدر رفت، می‌تواند از نظر اقتصادی، بازدهی انرژی و شرایط زیست محیطی نسبت به سیستم‌های تولید جداگانه<sup>۲</sup> (SP) انرژی بهتر عمل کند. حالت‌های بهره‌برداری اثر مستقیمی بر روی عملکرد سیستم تولید همزمان دارند [۱]. بر این اساس، تنظیم به موقع حالت‌های بهره‌برداری و طراحی یک راهبرد بهره‌برداری مطلوب بسیار مهم خواهد بود. حالت‌های بهره‌برداری سیستم‌های تولید همزمان، تعییت از بار الکتریکی<sup>۳</sup> (FEL) و تعییت از بار حرارتی<sup>۴</sup> (FTL) است [۲]. در شرایط بهره‌برداری، هر یک از این حالت‌ها می‌توانند به عنوان راهبرد بهره‌برداری تلقی گردند و این راهبردها با استفاده از بهینه‌سازی معیارهای

این مقاله در تاریخ ۱۶ فوریه ماه ۱۳۹۶ دریافت و در تاریخ ۱۵ فوریه ماه ۱۳۹۶ بازنگری شد.

فرشاد امیری، دانشکده مهندسی برق، پردیس فنی و مهندسی شهید عباسپور، دانشگاه شهید بهشتی، تهران، (email: Farshadamiri1366@gmail.com).  
مهرداد ستایش نظر، دانشکده مهندسی برق، پردیس فنی و مهندسی شهید عباسپور، دانشگاه شهید بهشتی، تهران، (email: m\_setayesh@sbu.ac.ir).

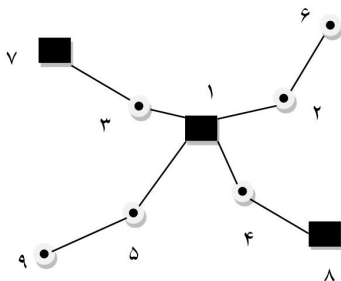
1. Combined Cool, Heat, and Power
2. Separate Production
3. Following the Electric Load
4. Following the Thermal Load

5. Hybrid Electrical and Thermal System

6. Primary Energy Consumption

7. Operation Cost

8. Carbon Dioxide Emissions



شکل ۳: ریز شبکه با اضافه شدن سیستم های تولید همزمان برق، گرما و برودت.

### ۳-۲ ریز شبکه توزیع

ریز شبکه مورد استفاده در این مقاله، یک سیستم توزیع ۹ شینه است که در شکل ۳ آمده است [۱۱]. در ریز شبکه، ۳ سیستم تولید همزمان برق، گرما و برودت در شین های ۱، ۷ و ۸ قرار داده شده که هدف بهینه سازی، برنامه ریزی بهینه تولید و تعیین راهبرد بهینه بهره برداری سیستم های تولید همزمان است.

### ۳- تشریح معیارهای مورد بررسی در حالت های تولید جدآگانه و تولید همزمان FEL و FTL

برای عملکرد سیستم های تولید همزمان معیارهای متعددی اهمیت دارند. از این معیارها می توان برای تعیین بهترین راهبرد عملکرد، بهینه برد [۱۳].

### ۱-۳ مصرف انرژی اولیه

$$PEC_{SP} = F_{boiler}^{SP} K_f + E_{grid}^{SP} K_e \quad (1)$$

$$PEC_E = F_{m-E} K_f \quad (2)$$

$$PEC_T = E_{grid} K_e + F_{m-T} K_f \quad (3)$$

که  $PEC_{SP}$ ،  $PEC_E$  و  $PEC_T$  به ترتیب مصرف سوخت اولیه در زمان بهره برداری از سیستم تولید همزمان در حالت تولید جدآگانه، حالت FEL و حالت FTL هستند. در (۱)،  $F_{boiler}$  سوخت مورد نیاز بویلر برای تأمین حرارت است و  $K_f$  ضریب تبدیل سوخت به انرژی اولیه است. همچنین  $E_{grid}$  برق خریداری شده از شبکه سراسری برای تأمین برق مورد نیاز و  $K_e$  ضریب تبدیل برق به واحد انرژی اولیه است. در (۲)،  $F_{m-E}$  سوخت کل مورد نیاز برای بهره برداری سیستم تولید همزمان در حالت FEL است. در (۳) سوخت کل مورد نیاز برای بهره برداری سیستم تولید همزمان در حالت FTL است و  $E_{grid}$  برق مورد نیاز در حالت FTL است که در صورت لزوم از شبکه خریداری می شود.

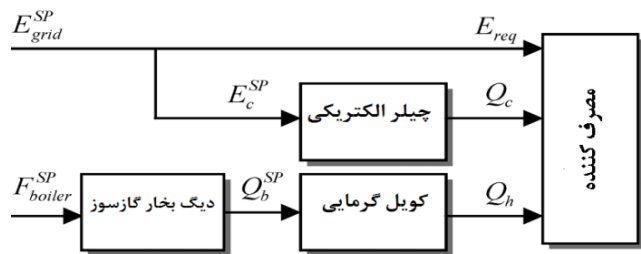
### ۲-۳ انتشار کربن دی اکسید

$$CDE_{SP} = F_{boiler}^{SP} \mu_f + E_{grid}^{SP} \mu_e \quad (4)$$

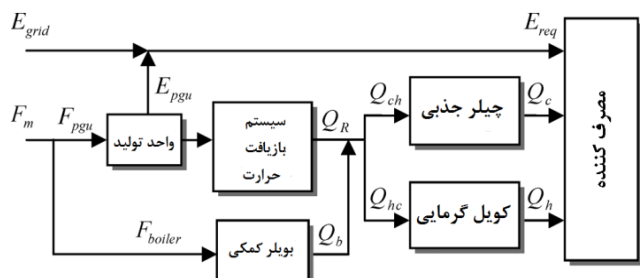
$$CDE_E = (F_{pgu} + F_{boiler}) \mu_f \quad (5)$$

$$CDE_T = E_{grid} \mu_e + F_{m-T} \mu_f \quad (6)$$

که  $CDE_{SP}$ ،  $CDE_E$  و  $CDE_T$  به ترتیب، انتشار کربن دی اکسید در زمان بهره برداری از سیستم تولید همزمان در حالت تولید جدآگانه، حالت FEL و حالت FTL هستند. در (۴)  $\mu_f$  و  $\mu_e$  به ترتیب ضرایب تبدیل سوخت و برق به کربن دی اکسید و در (۵)  $F_{pgu}$  سوخت مورد نیاز واحد تولید سیستم است.



شکل ۱: نمودار جریان انرژی به روش معمولی.



شکل ۲: نمودار جریان انرژی به روش تولید همزمان.

ندارد. بدین صورت که سیستم های تولید همزمان با توجه به تابع هزینه خود، سهمی از تولید کل برق مصرفی ریز شبکه را به صورت بهینه، عهده دار می شوند. سپس در مرحله دوم با استفاده از الگوریتم پیشنهادی، راهبرد بهره برداری بهینه سیستم های تولید همزمان تعیین خواهد شد. الگوریتم پیشنهادی، معیار عملکرد جامع<sup>۱</sup> (UPC) سیستم های تولید همزمان است که انرژی الکتریکی همه شین های ریز شبکه را تأمین می کنند. لازم به ذکر می باشد که از نرم افزارهای Matlab و GAMS در شبیه سازی استفاده شده است.

## ۲- مدل سازی سیستم ها

### ۱-۲ مدل سیستم تولید جدآگانه

جریان انرژی در سیستم تولید جدآگانه برای تأمین بار الکتریکی، حرارتی و برودتی در شکل ۱ نشان داده شده است [۱۲]. یک چیلر الکتریکی برای تأمین بار برودتی سیستم در نظر گرفته شده و حرارت خروجی از دیگ بخار گازسوز از شبکه است. برق مورد نیاز چیلر الکتریکی و نیاز مصرف کننده هم از شبکه برق سراسری تأمین می شود. در شکل ۱،  $E_{grid}$  برق مورد نیاز از شبکه است.  $E_c$  و  $E_{req}$  برق دریافتی توسط چیلر الکتریکی در روش تولید جدآگانه است.  $Q_c$  و  $Q_h$  به ترتیب سرمای چیلر الکتریکی و حرارت خروجی از کویل حرارتی هستند.  $F_{boiler}$  سوخت مورد نیاز برای دیگ بخار کمکی گازسوز، جهت تأمین حرارت مورد نیاز است.

### ۲-۲ مدل سیستم تولید همزمان برق، گرما و برودت

مدل سیستم تولید همزمان برق، گرما و برودت در شکل ۲ نشان داده شده است [۱۲]. این سیستم تولید همزمان شامل یک دیگ بخار کمکی (توربین گازی)، یک سیستم بازیافت حرارت، یک دیگ بخار کمکی، یک چیلر جذبی و کویل حرارتی است.

$$\begin{aligned} COST_{CCHP} &= E_{pgu} \times \left( \frac{1}{\eta_{pgu}} - \frac{(1-\eta_{pgu})\eta_{rec}}{\eta_{pgu}\eta_{boiler}} \right) \times \\ &[C_f + \mu_f C_c] + \frac{Q_{req}}{3\eta_{boiler}} \times [C_f + \mu_f C_c] \end{aligned} \quad (12)$$

#### ۴-۲ تعیین راهبرد بهره‌برداری بهینه

با توجه به برنامه‌ریزی تولید بهینه هر کدام از سیستم‌های تولید همزمان در مرحله قبل، راهبرد بهینه بهره‌برداری با توجه به معیار عملکرد جامع برای هر سیستم و این بار با توجه به تولید جدید هر سیستم، تعیین می‌شود.

#### ۴-۲-۱ معیار عملکرد جامع

این معیار همه معیارهای مذکور را با ضرایب وزنی در بر می‌گیرد و معیار عملکرد جامع نامیده می‌شود و هزینه بهره‌برداری، انتشار آلودگی کربن‌دی‌اکسید و مصرف انرژی اولیه را حداقل می‌سازد. ضرایب وزنی را با توجه به روش‌های وزن دهنده یکسان که در بسیاری از مسایل تصمیم‌گیری مورد استفاده قرار می‌گیرد، به طور مساوی بین سه معیار مذکور تقسیم می‌کنیم [۱۴]

$$\begin{aligned} UPC = W_1 \frac{PEC_{CCHP}}{PEC_{SP}} + W_2 \frac{CDE_{CCHP}}{CDE_{SP}} + W_3 \frac{COST_{CCHP}}{COST_{SP}} \quad (13) \\ W_1 + W_2 + W_3 = 1 \end{aligned}$$

الگوریتم تعیین راهبرد بهینه برای سیستم‌های تولید همزمان از مقایسه معیار عملکرد جامع به صورت (۱۴) در ۲ حالت FEL و FTL عمل می‌کند

$$\begin{aligned} UPC_E - UPC_T &= \frac{1}{3} \left( \frac{PEC_E - PEC_T}{PEC_{SP}} + \right. \\ &\left. \frac{CDE_E - CDE_T}{CDE_{SP}} + \frac{COST_E - COST_T}{COST_{SP}} \right) \quad (14) \end{aligned}$$

اگر در دو حالت FEL و ارتباط برق تولیدی توسط سیستم تولید همزمان و حرارت بازیافتنی در واحد بازیافت حرارت به صورت (۱۵) در نظر گرفته شود، به یک نسبت برق به حرارت با عنوان ضریب  $K$  می‌توان رسید

$$E_{pgu} = \frac{\eta_{pgu}}{\eta_{rec}(1-\eta_{pgu})} Q_R = K Q_R \quad (15)$$

پس با توجه به (۱۵)، برق تولیدی توسط سیستم تولید همزمان می‌تواند تابعی خطی بر حسب حرارت بازیافتنی باشد. اگر سیستم تولید همزمان با بالاترین بازده از این نسبت در نظر گرفته شود، ارتباط برق مصرف‌کننده با حرارت مصرف‌کننده نیز به صورت (۱۶) خواهد شد

$$E_{req} = \frac{\eta_{pgu}}{\eta_{rec}(1-\eta_{pgu})} Q_{req} = K Q_{req} \quad (16)$$

در این صورت اگر تعادل تقاضاهای برق و حرارت بر هم بخورد، شرایط مذکور باید در دو حالت  $E_{req} \geq K Q_{req}$  و  $E_{req} < K Q_{req}$  مورد بررسی قرار گیرد.

#### ۴-۲-۲ شرایط $E_{req} \geq K Q_{req}$

در این حالت، اگر هر کدام از راهبردهای بهره‌برداری انتخاب شود، رابطه‌های زیر برای تحلیل مدل‌سازی معیارها، مورد بررسی قرار خواهد گرفت

#### ۳-۳ هزینه بهره‌برداری

$$COST_{SP} = F_{boiler}^{SP} C_f + F_{boiler}^{SP} \mu_f C_c + E_{grid}^{SP} C_e \quad (V)$$

$$COST_E = F_{m-E} C_f + F_{m-E} \mu_f C_c \quad (8)$$

$$COST_T = E_{grid} C_e + F_{m-T} C_f + F_{m-T} \mu_f C_c - E_{excess} C_s \quad (9)$$

در (V)  $C_e$ ،  $C_f$  و  $C_c$  به ترتیب قیمت سوخت، انتشار کربن‌دی‌اکسید و برق در شبکه مورد نظر و  $COST_T$ ،  $COST_E$  و  $COST_{SP}$  به ترتیب هزینه‌های بهره‌برداری در حالت‌های تولید جداگانه، حالت FEL و حالت FTL هستند. در (9)  $E_{excess}$  مقدار برق اضافی سیستم تولید همزمان است که در صورت فروش برق به شبکه مورد استفاده قرار می‌گیرد و  $C_s = 0$  می‌شود.

#### ۴- برنامه‌ریزی تولید و تعیین راهبرد بهره‌برداری بهینه

##### ۴-۱ برنامه‌ریزی تولید بهینه در ریزشبکه

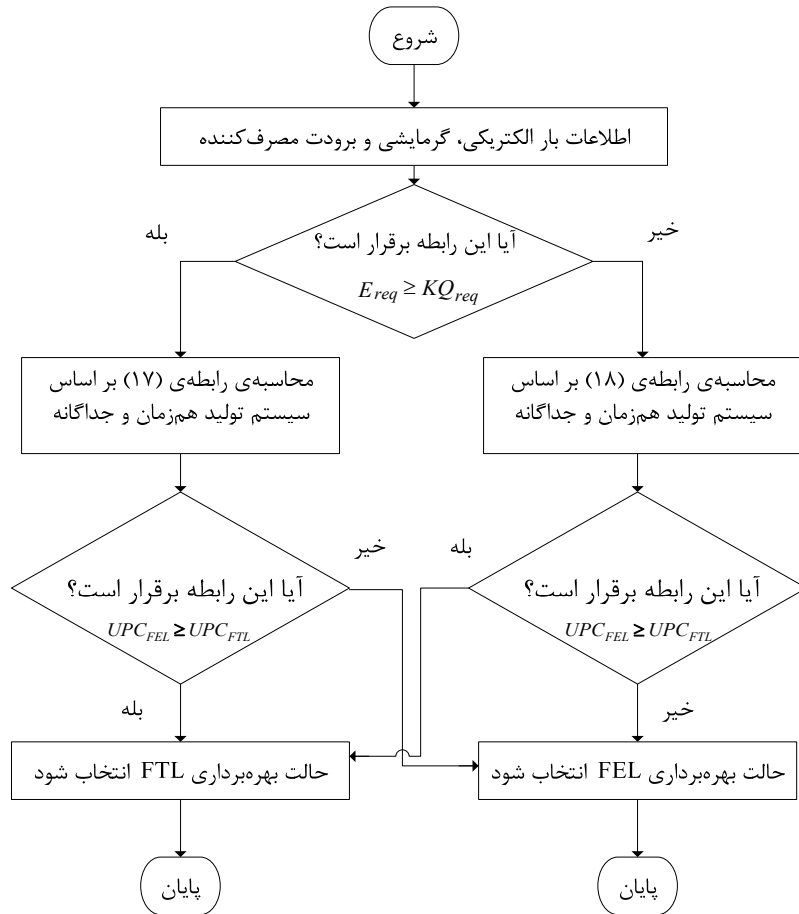
پس از برنامه‌ریزی تولید بهینه، سهم تولید و مشارکت هر سیستم در تولید الکتریسیته کل با در نظر گرفتن تلفات، مشخص شده که این کار با استفاده از تابع هزینه سیستم‌ها انجام می‌گردد. پس از تعیین سهم بهینه تولید هر سیستم تولید همزمان، با استفاده از یک الگوریتم بهینه‌سازی چندمعیاره، نوع راهبرد بهره‌برداری هر سیستم مشخص می‌شود.

برای برنامه‌ریزی تولید بهینه، از روش لاندا با در نظر گرفتن تلفات در ریزشبکه از (۱۰) که به کرون معروف است، استفاده شده است. ضرایب  $B$ ، ضرایب تلفات نامیده می‌شوند

$$E_L = \sum_{i=1}^{n_g} \sum_{j=1}^{n_g} E_i B_{ij} E_j + \sum_{i=1}^{n_g} B_i E_i + B.. \quad (10)$$

با توجه به این که در ریزشبکه مورد نظر فقط انتقال الکتریکی صورت می‌گیرد و هیچ گونه انتقال حرارتی وجود ندارد، برای برنامه‌ریزی تولید بهینه و پخش توان بین واحدهای تولید همزمان باید تابع هزینه‌ای در اختیار باشد که بر حسب متغیر توان تولیدی واحد تولید لحاظ شود. با توجه به این موضوع تنها زمانی  $E_{pgu}$  (برق تولیدی هر سیستم) می‌تواند جایگزین  $E_{req}$  (برق مورد نیاز مصرف‌کننده) شود که راهبرد بهره‌برداری، حالت FEL انتخاب شده باشد (یعنی زمانی که سیستم‌های تولید همزمان فقط موظف به تأمین برق ریزشبکه هستند). همچنین طبق [۷] اگر برای سیستم تولید همزمان در هر ساعت مشخص، شرایط  $E_{req} < K Q_{req}$  برقرار باشد از حالت FEL استفاده می‌شود. پس برای ریزشبکه، زمانی برnamه‌ریزی بهینه تولید انجام می‌گیرد که در آن ساعت، (۱۱) برقرار باشد. چون در این شرایط است که می‌توان  $E_{pgu}$  را در تابع هزینه، جایگزین  $E_{req}$  کرد و سهم مشارکت هر سیستم را در تأمین برق کل ریزشبکه به دست آورد. در (۱۲) همان حرارت مورد نیاز شبکی است که سیستم تولید همزمان در آن قرار دارد زیرا انتقال حرارت در این ریزشبکه انجام نمی‌گیرد. هم به عنوان سهم هر سیستم تولید همزمان، پس از پخش بار بهینه از کل برق مصرفی ریزشبکه، مشخص خواهد شد

$$E_{req} < \frac{\eta_{pgu} Q_{req}}{\eta_{rec}(1-\eta_{pgu})} \quad (11)$$



شکل ۴: الگوریتم تعیین راهبرد بهینه.

جدول ۱: تعیین  $k$  برای بهره گیری از برنامه ریزی بهینه تولید همزمان.

پارامترها	سیستم ۱	سیستم ۲	سیستم ۳
$E_{req}$ (kw)	۲۸	۲۳	۲۶
$Q_{req}$ (kw)	۷۱,۶۰۷	۵۸,۳۹۲	۶۵,۸۹۲
$K$	۰,۴۱۶	۰,۴۸۶	۰,۴۶۲

if  $FEL : F_{boiler} = .$   
if  $FTL : F_{excess} = .$

در نهایت با ساده سازی معادلات در معیارهای مورد بررسی، برای هر

حالت،  $UPC$  نهایی به دست خواهد آمد

$$UPC_E - UPC_T = \frac{E_{grid}}{3} \left[ \frac{\frac{1}{\eta_{pgu}} K_f - K_e}{PEC_{SP}} + \frac{\frac{1}{\eta_{pgu}} (\mu_f - \mu_e) + \frac{1}{\eta_{pgu}} (C_f + \mu_f C_c) - C_e}{CDE_{SP}} \right] \quad (۱۷)$$

#### ۴-۲-۳-۲ شرایط $E_{req} < KQ_{req}$

در این مورد اگر هر کدام از حالت های بهره برداری صورت گیرد، رابطه های زیر برای معیارهای مذکور قابل استخراج است

با کمبود حرارت مواجه هستیم :  
if  $FEL : E_{grid} = .$   
if  $FTL : E_{grid} = .$

با ساده سازی معادلات هر حالت، معیارهای مورد بررسی برای هر حالت بازنویسی می شود

با قرار گرفتن مقدار حرارت و برق مورد نیاز مصرف کننده در هر زمان، با استفاده از (۱۷) و (۱۸)، توسط الگوریتم مقایسه ای شکل ۴، راهبرد بهینه هر سیستم تعیین می شود.

## ۵- مطالعه عددی

در مطالعات عددی، ابتدا به بررسی شرایط بهره برداری بهینه برای یک ساعت از شبانه روز فصل تابستان پرداخته شده است (ساعت ۱۳) که الگوریتم ارائه شده قابل بسط به کلیه ساعت های سال است. برای برنامه ریزی تولید بهینه، شرط نسبت بار (۱۱) برای هر سیستم در این ساعت در نظر گرفته می شود و نتایج در جدول ۱ برای هر سیستم به دست آورده شده است. همچنین نتایج برنامه ریزی تولید بهینه در جدول ۲ نشان می دهد که مقدار  $E_{pgu}$ ، میزان برقی است که سیستم باید برای ریز شبکه تولید کند. با مشخص شدن مقدار تولید هر کدام از سیستم ها و با برقراری ارتباط بین توان تولیدی جدید و الگوریتم تعیین راهبرد، مطابق جدول ۲، مقدار تولید هر کدام از اجزای سیستم ها و همچنین راهبرد بهینه تعیین می شود. همان طور که در جدول ۲ مشاهده می شود، در سیستم های ۲ و ۳ با وجود بهره برداری بهینه در راهبرد FEL، مقداری حرارت اضافه تر از مورد نیاز تولید می شود که به علت نبودن ذخیره ساز، این مقدار اضافی هدر می رود. اگر در همین مدل سازی، ذخیره ساز لحاظ شود، در مقدار معیارها کاهش بیشتری رخ خواهد داد.

جدول ۳: تعیین تولید بهینه و تلفات سیستم‌ها در یک شباهنگ روز (KW).

شبانه‌روز	تلفات (kw)	سیستم ۱	سیستم ۲	سیستم ۳
فصل تابستان	۱۳۷,۰۲۱	۲۷۲,۱۸۳	۲۳۰,۴۳۲	۲۰,۵۹۵
فصل زمستان	۲۳,۶۵۳	۲۱۲,۱۶۴	۱۴۳,۰۶۸	۱۱,۸۷۲

جدول ۲: تعیین مقدار تولید جدید بهینه هر کدام از اجزای سیستم تولید هم‌زمان در ساعت ۱۳ فصل تابستان.

سیستم ۱	سیستم ۲	سیستم ۳
$E_{req}$ (kw)	۶۵,۳۷۳	۲۷,۶۴۳
$Q_{req}$ (kw)	۷۱۶,۰۷	۵۸,۳۹۲
$UPC_E$	۰,۷۳۰	۰,۵۵۳
$UPC_T$	۰,۷۶۲	۰,۵۵۷
راهبرد بهینه	FEL	FEL
$E_{pgu}$ (kw)	۶۵,۳۷۳	۲۷,۶۴۳
$E_{grid}$ (kw)	•	•
$Q_{R-E}$ (kw)	۱۵۶,۸۹۵	۵۶,۸۶۵
$Q_{b-E}$ (kw)	•	۱,۵۲۷

جدول ۴: مقایسه حالت مختلف بهره‌برداری در یک شباهنگ روز.

حالات اول: تولید برق سیستم‌ها، بدون انتقال انرژی الکتریکی در ریزشبکه			
شبانه‌روز	انتشار کربن دی‌اکسید (Yuan)	هزینه بهره‌برداری (g)	صرف سوخت (kwh)
تابستان	۶۸۱,۶۶	۹۶۶۴۰۲	۳۹۲۵,۶۷۷
زمستان	۶۶۴,۰۸۸	۱۰۴۲۱۹۸	۴۷۲۱,۸۹۳
حالات دوم (بهینه): تولید کل برق ریزشبکه به وسیله ۳ سیستم تولید هم‌زمان با راهبرد بهینه بهره‌برداری به روش پیشنهادی			
شبانه‌روز	انتشار کربن دی‌اکسید (Yuan)	هزینه بهره‌برداری (g)	صرف سوخت (kwh)
تابستان	۵۹۶,۱۰۳	۸۳۶۶۳۶	۳۸۷۲,۱۵۰
زمستان	۵۸۶,۸۸۱	۹۵۱۶۳۲	۴۵۰۱,۰۷۹

جدول ۵: مقایسه معیارهای مورد نظر در روش‌های مختلف بهره‌برداری.

حالات بهره‌برداری	هزینه بهره‌برداری	انتشار آزادگی	صرف انرژی	مجموع معیار جامع
تولید جداگانه	۷۶۶,۱۳	۸۲۶۳۷	۳۲۳۹,۱	-
[۷] HET's تولید هم‌زمان و تعیین با روش	۶۱۹,۷۴	۶۶۴۵۴۰	۲۷۴۳,۷	۰,۸۲۰۱
تولید هم‌زمان با راهبرد بهینه با GAMS	۶۱۹,۷۴	۶۶۴۵۴۰	۲۷۴۳,۷	۰,۸۲۰۱
تولید هم‌زمان و بهینه با راهبرد بهینه بهره‌برداری در روش پیشنهادی با Matlab	۵۸۰,۸۹	۶۳۹۷۳۰	۲۹۸۵,۴	۰,۸۱۸۰

لازم به توضیح است که واحد پول مقاله اصلی مورد مقایسه، یوان چین می‌باشد و برای مقایسه نتایج شبیه‌سازی الزاماً از این واحد پول استفاده شده است. با توجه به جدول ۵، معیارهای مورد بررسی کاهش قابل ملاحظه‌ای نسبت به میزان معیارها در زمان تأمین انرژی به صورت جداگانه و بدون انتقال انرژی الکتریکی دارند. همچنین محاسبات مسئله نشان می‌دهد در ساعتی که مقدار  $E_{req}$  به  $KQ_{req}$  نزدیک‌تر باشد، کاهش مقدار معیارها بیشتر است. به این صورت که هرچه الگوی بار الکتریکی و حرارتی با نسبت ذکرشده به هم شبیه‌تر باشند هزینه بهره‌برداری، مصرف انرژی و انتشار آزادگی برای تأمین بار، کاهش بیشتری خواهد داشت که این امر مزیت روش پیشنهادی را نسبت به مراجع بررسی شده نشان می‌دهد.

## ۶- نتیجه‌گیری

در این مقاله با توجه به اهمیت موضوع بهره‌برداری از سیستم‌های تولید هم‌زمان در یک ریزشبکه، روشی پیشنهادی برای برنامه‌ریزی بهینه تولید این سیستم‌ها ارائه گردید و سهم مشارکت این سیستم‌ها در تأمین انرژی الکتریکی مورد نیاز ریزشبکه، مشخص شد. همچنین در این برنامه‌ریزی، تلفات انتقال انرژی الکتریکی از سیستم‌های تولید هم‌زمان به شین‌های ریزشبکه در نظر گرفته شده است. ارتباط بین تولید سیستم‌های

در مرحله بعد، برنامه‌ریزی بهینه تولید برای یک شباهنگ روز از فصل تابستان و زمستان انجام شده که جدول ۳ میزان تولید هر سیستم در یک شباهنگ روز از فصل تابستان و زمستان را مطابق اطلاعات بار در [۱۵] نشان داده و نتایج شبیه‌سازی در جدول ۴ آورده شده است.

در جدول ۴ مقایسه‌ای بین میزان معیارها در دو حالت بهره‌برداری تولید جداگانه (هر شین انرژی الکتریکی خود را تأمین کند) و بهره‌برداری هم‌زمان ( فقط سیستم‌های تولید هم‌زمان با یک برنامه‌ریزی بهینه تولید انرژی کل ریزشبکه را تأمین کنند) صورت گرفته است. همان طور که مشاهده می‌شود در حالت دوم و با استفاده از روش پیشنهادی، معیارهای مورد بررسی کاهش قابل توجهی داشته‌اند.

نهایتاً جدول ۵ مقایسه نهایی روش‌های مختلف بهره‌برداری در ۲ مقاله [۷] و [۱۲] و روش پیشنهادی این مقاله را با توجه به معیارهای مورد نظر برای ۲۴ ساعت در یک روز از تابستان نشان می‌دهد. با توجه به اطلاعات این مسئله، نتایج استفاده از روش [۷] در سطر دوم جدول و همچنین استفاده از الگوریتم [۱۲] بدون در نظر گرفتن برنامه‌ریزی بهینه تولید با نرم‌افزار GAMS در سطر سوم جدول، ارائه شده است. سطر نهایی جدول ۵ نیز نتایج حاصل از روش پیشنهادی این مقاله و به وسیله مدل سازی تابع هزینه هر سیستم و اجرای برنامه‌ریزی تولید بهینه سیستم‌ها و همچنین تعیین راهبرد بهینه برای بهره‌برداری را نشان می‌دهد.

- [3] G. Chicco and P. Mancarella, "Assessment of the greenhouse gas emissions from cogeneration and trigeneration systems. Part II: analysis techniques and application cases," *Energy*, vol. 33, no. 3, pp. 418-430, Mar. 2008.
- [4] N. Fumo, P. J. Mago, and L. M. Chamra, "Emission operational strategy for combined cooling, heating, and power systems," *Appl. Energy*, vol. 86, no. 11, pp. 2344-2350, Nov. 2009.
- [5] E. Cardona and A. Piacentino, "Cogeneration: a regulatory framework toward growth," *Energy Policy*, vol. 33, no. 16, pp. 2100-2111, 2005.
- [6] A. Zafra-Cabeza, M. A. Ridao, I. Alvarado, and E. F. Camacho, "Applying risk management to combined heat and power plants," *IEEE Trans. Power Syst.*, vol. 23, no. 3, pp. 938-945, Aug. 2008.
- [7] P. J. Mago and L. M. Chamra, "Analysis and optimization of CCHP systems based on energy, economical, and environmental considerations," *Energy Build.*, vol. 41, no. 10, pp. 1099-1106, Oct. 2009.
- [8] A. Rong and R. Lahdelma, "An efficient linear programming model and optimization algorithm for trigeneration," *Appl. Energy*, vol. 82, no. 1, pp. 40-63, Sep. 2005.
- [9] J. J. Wang, Z. Q. Zhai, Y. Y. Jing, and C. F. Zhang, "Particle swarm optimization for redundant building cooling heating and power system," *Appl. Energy*, vol. 87, no. 12, pp. 3668-3679, Dec. 2010.
- [10] J. Y. Wu, J. L. Wang, and S. Li, "Multi-objective optimal operation strategy study of micro-CCHP system," *Energy*, vol. 48, no. 1, pp. 472-483, 2012.
- [11] H. Quintana, H. K. Temraz, and K. W. Hipel, "Two-stage power system distribution planning algorithm," in *Proc. Inst. Elect. Eng. Generation, Transmission, and Distribution*, vol. 140, pp. 17-29, Jan. 1993.
- [12] F. Fang, Q. H. Wang, and Y. Shi, "A novel optimal operational strategy for the CCHP system based on two operating modes," *IEEE Trans. on Power Systems*, vol. 27, no. 2, pp. 1032-1041, May 2012.
- [13] H. Cho, P. J. Mago, R. Luck, and L. M. Chamra, "Evaluation of CCHP systems performance based on operational cost, primary energy consumption, and carbon dioxide emission by utilizing an optimal operation scheme," *Appl. Energy*, vol. 86, no. 12, pp. 2540-2549, Dec. 2009.
- [14] R. M. Dawes and B. Corrigan, "Linear models in decision making," *Psychol. Bull.*, vol. 81, no. 2, pp. 95-106, Feb. 1974.
- [۱۵] ف. امیری، بهینه سازی چند معیاره بهره برداری از سیستم های تولید همزمان برق، گرما و برودت (CCHP) به منظور تأمین بارهای مسکونی و تجاری در محیط بازار برق، پایان نامه، دانشکده برق پردیس فنی و مهندسی شهید عباس پور، دانشگاه شهید بهشتی، ۱۳۹۳.
- [16] US Environmental Protection Agency, *Catalog of CHP Technologies: U. S. Environmental Protection Agency Combined Heat and Power Partnership*, Dec. 2008.

فرشاد امیری در سال ۱۳۹۰ مدرک کارشناسی مهندسی برق - قدرت خود را از دانشگاه بوعلی سینا همدان و در سال ۱۳۹۳ مدرک کارشناسی ارشد مهندسی برق خود را در گرایش قدرت - تجدید ساختار از دانشگاه شهید بهشتی دریافت نمود. هم‌اکنون نام برده در زمینه‌ی توسعه و تعمیرات شبکه‌های توزیع برق تهران به عنوان مدیریت پروژه‌های برق رسانی مشغول به فعالیت می‌باشد. زمینه‌های کاری و تحقیقاتی مورد علاقه ایشان: طراحی، تجهیز و راه اندازی سیستم‌های توزیع برق، مدیریت انرژی الکتریکی، منابع تولید پراکنده، تأسیسات الکتریکی و همچنین ایمنی و بهداشت محیط کار (HSE) در شبکه‌ی توزیع برق می‌باشد.

مهرداد ستایش نظر در سال ۱۳۷۳ مدرک کارشناسی مهندسی برق قدرت خود را از دانشگاه علم و صنعت ایران و در سال ۱۳۷۵ مدرک کارشناسی ارشد مهندسی برق خود را از دانشگاه تربیت مدرس دریافت نمود و در سال ۱۳۷۹ موفق به اخذ درجه دکترا در مهندسی برق قدرت از دانشگاه مذکور گردید. دکتر ستایش نظر از سال ۱۳۷۸ در دانشکده مهندسی برق دانشگاه شهید بهشتی آب و برق تهران مشغول به فعالیت گردید و اینک نیز دانشیار دانشگاه شهید بهشتی می‌باشد. زمینه‌های علمی مورد علاقه نام برده شامل بازار برق، مدیریت انرژی الکتریکی و شبکه‌های هوشمند می‌باشد.

جدول پ-۱: پارامترهای مشترک مربوط به سیستم‌ها و ریز شبکه.

پارامتر	مقادیر
$COP_{ch}$	۰,۷
$COP_{ec}$	۳
$C_e$ (Yuan)	۰,۹۵
$C_f$ (Yuan)	۰,۴۵
$C_c$ (Yuan/kwh)	۰,۰۰۰۲
$\mu_e$ (g/kwh)	۹۶۸
$\mu_f$ (g/kwh)	۲۲۰
$K_f$	۱,۰۴۷
$K_e$	۳,۳۳۶

جدول پ-۲: پارامترهای داخلی سیستم‌های تولید همزمان.

حرارتی	بازده کویل	بازده بخار	بازده واحد	بازده بخار	بازده بویلر	بازده سیستم
	$\eta_{rec}$	$\eta_{boiler}$	$\eta_{pgu}$	$\eta_{hc}$	$\eta_{rec}$	
۱	۰,۸	۰,۸۱	۰,۲۵	۰,۲۵	۰,۸	
۲	۰,۸	۰,۷۸	۰,۲۸	۰,۲۸	۰,۸	
۳	۰,۸	۰,۷۷	۰,۲۷	۰,۲۷	۰,۸	

تولید همزمان در ریز شبکه و الگوریتم تعیین راهبرد بهینه با استفاده از روش پخش بار بهینه و در جهت تأمین بار الکتریکی یا حرارتی، برقرار شده است. این ارتباط ریز شبکه را قادر می‌سازد تا با استفاده از بهره برداری سیستم‌های تولید همزمان، انرژی الکتریکی همه شین‌ها را با کمترین مقدار معیارها تأمین کند. در این مقاله، معیارهایی همچون مصرف انرژی اوایله، انتشار کردن دی‌اکسید و هزینه بهره برداری در نظر گرفته شده است. نتایج حاصل از مطالعات عددی و مقایسه انجام شده، مزیت الگوریتم ارائه شده نسبت به مقالات مرجع موردن بررسی را نشان می‌دهد. مطالعات بیشتر از سوی محققین این مقاله برای لحاظ کردن شبکه انتقال حرارت در فرایند بهینه سازی در حال انجام است.

## پیوست

پارامترهای مشترک سیستم‌های تولید همزمان و برخی اطلاعات مورد نیاز ریز شبکه در جدول پ-۱ آورده شده است. سیستم‌های تولید همزمان موجود در ریز شبکه دارای پارامترهای داخلی متفاوتی هستند که در جدول پ-۲ آورده شده است [۱۶]. این سیستم‌ها با محرك اصلی میکرو تورین گازسوز در محدوده تولید توان کمتر از ۱ مگاوات کار می‌کنند. در شین ۱ بزرگ‌ترین سیستم تولید همزمان قرار دارد که در زمان پخش بار به عنوان شین اسلک در نظر گرفته می‌شود.

## مراجع

- [1] D. W. Wu and R. Z. Wang, "Combined cooling, heating, and power: a review," *Prog. Energy Combust. Sci.*, vol. 32, no. 5-6, pp. 459-495, Sept./Nov. 2006.
- [2] P. J. Mago, N. Fumo, and L. M. Chamra, "Performance analysis of CCHP and CHP systems operating following the thermal and electric load," *Int. J. Energy Res.*, vol. 33, no. 9, pp. 852-864, Jul. 2009.